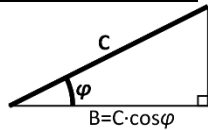


Formelsamling til TEK-1011 Anvendt mekanikk

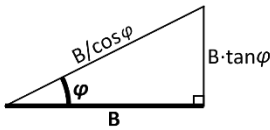
Trigonometri

Rettvinklet trekant



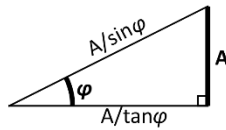
$$A = C \cdot \sin \varphi$$

$$B = C \cdot \cos \varphi$$



$$\frac{B}{\cos \varphi} = C$$

$$B = C \cdot \cos \varphi$$



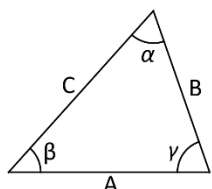
$$\frac{A}{\sin \varphi} = C$$

$$A = C \cdot \sin \varphi$$

Pythagoras:

$$A^2 + B^2 = C^2$$

Generell trekant



Sinussetningen:

$$\frac{A}{\sin \alpha} = \frac{B}{\sin \beta} = \frac{C}{\sin \gamma}$$

Cosinussetningen:

$$A^2 = B^2 + C^2 - 2BC \cos \alpha$$

Geometri (se også tabell på siste side)

Volumsenter (tilsv. for y_c og z_c)

$$x_c = \frac{\sum (V_i x_i)}{\sum V_i}$$

Arealsenter (tilsv. for z_c)

$$y_c = \frac{\sum (A_i y_i)}{\sum A_i} = \frac{S_z}{A}$$

Arealmoment

$$S_z = \int_A y dA = \sum (A_i y_i)$$

Annet arealmoment

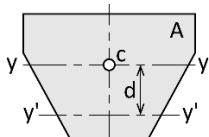
$$I_y = \int_A z^2 dA$$

Tverrsnittsmodul:

$$W_y = \frac{I_y}{|z_{maks}|}$$

Steiners formel

$$I_{y'} = I_y + d^2 A$$



$I_{y'}$ = Annet arealmoment om y' -akse

I_y = Annet arealmoment om y -aksen gjennom arealsenter

d = Avstand mellom y -akse og y' -akse

A = Flatens areal

Annet arealmoment når areal legges sammen

$$I_{1+2} = I_1 + I_2 + d^2 \frac{A_1 A_2}{A_1 + A_2}$$

Annet arealmoment når areal trekkes fra

$$I_{1-2} = I_1 - I_2 - d^2 \frac{A_1 A_2}{A_1 - A_2}$$

Momentsetningen

Resultantens moment M_R om fritt valgt momentpunkt er lik summen av kraftsystemets momenter om punktet.

$$M_R = \sum (F_i a_i) + \sum M_i$$

$M_R = R \cdot a_R$ så lenge resultanten ikke blir et kraftpar

Tyngde og tyngdepunkt

$$\text{Tyngde: } G = g \cdot m = g \rho V \quad \text{hvor } g = 9,81 \frac{\text{N}}{\text{kg}}$$

$$\text{Tyngdepunkt: } x_c = \frac{\sum G_i x_i}{\sum G_i} = \frac{\sum m_i x_i}{\sum m_i} = \frac{\sum (\rho_i V_i x_i)}{\sum (\rho_i V_i)}$$

Beliggenhet i fritt valgt referansepunkt
(tilsv for y_c og z_c)

Resultant

Komponenter

$$R_x = \sum (F_{xi})$$

$$R_y = \sum (F_{yi})$$

Mål

$$R = \sqrt{R_x^2 + R_y^2}$$

Retning

$$\tan \varphi_R = \frac{R_y}{R_x}$$

Beliggenhet

$$a_R = \frac{\sum (F_i \cdot a_i)}{R}$$

Statisk bestemhet $U = L$

Antall likninger (generelt)

$$L = 3E + 2P + 0A$$

E = antall elementer (generelle)

P = antall partikler (knotepunkt)

A = antall aksialstaver

Antall ukjente reaksjonskrefter

$$U = O + 2P + 3F$$

O = Ytre opplagerkrefter (fastholdinger mot omgivelsene)

Fast innspenning = 3, Boltlager = 2, Glidelager/stanglager = 1

P = antall indre endeledd (knotepunkt / partikler)

F = antall indre faste innspenninger

Fagverk:

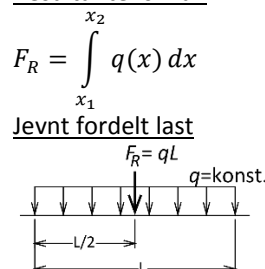
$$L = 2P$$

$$U = O + A$$

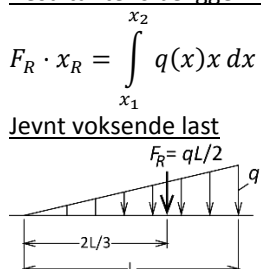
A = antall aksialstaver

Fordelt last (linjelast)

Resultantens mål:



Resultantens beliggenhet:



Egentyngde
(bjelke)

$$q_W = \frac{G}{L} = g\rho A_{TS}$$

A_{TS} = Tverrsnittsareal

Hydrostatisk trykk
(platestripe)

$$q_H = g\rho hb$$

b = Lastbredde

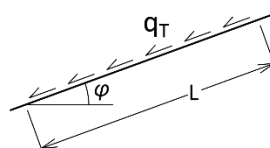
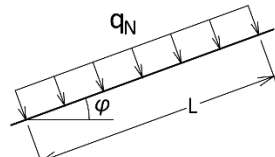
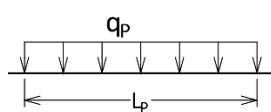
Projeksjonslast, q_P

Normalkomponent:

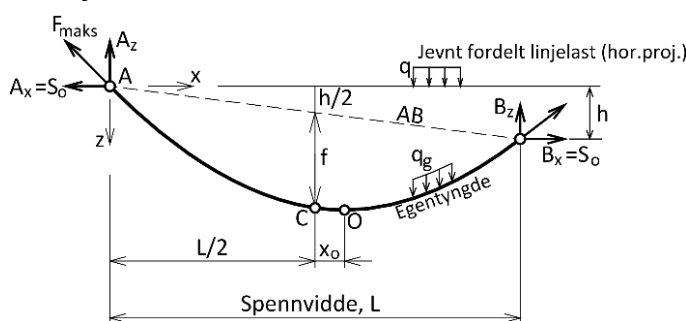
$$q_N = q_P \cos^2 \varphi$$

Tangentialkomponent:

$$q_T = q_P \cos \varphi \sin \varphi$$



Kabelformler



Kabelnedheng ved $L/2$: $f = \frac{qL^2}{8S_o}$

Projisert linjelast:

$$q = q_g \frac{s}{L}$$

$$\text{Kabelparabel: } z(x) = \left(\frac{qL}{2S_o} + \frac{h}{L} \right) x - \frac{q}{2S_o} x^2 = \left(\frac{4f}{L} + \frac{h}{L} \right) x - \frac{4f}{L^2} x^2$$

$$\text{Kabellengde: } s = L \left[1 + \frac{1}{2} \left(\frac{h}{L} \right)^2 + \frac{8}{3} \left(\frac{f}{L} \right)^2 \right]$$

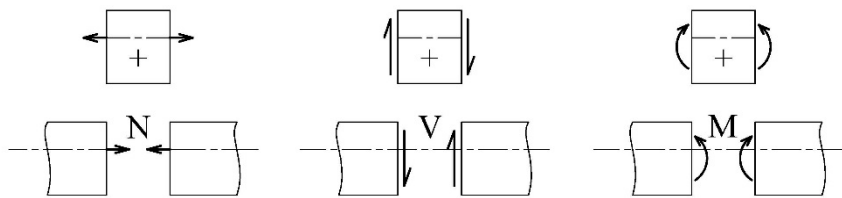
$$\text{Bunnpunkt, beligg. ift C: } x_o = \frac{hL}{8f} \text{ og } z_o = \frac{h^2}{16f}$$

Snittkrefter

$$\Delta V = - \int_{x_1}^{x_2} q(x) dx$$

$$\Delta M = \int_{x_1}^{x_2} V(x) dx$$

Fortegnsregler:



Fasthetsslære, grunnleggende

Aksialspenninger:

$$\sigma_A = \frac{F}{A}$$

Tøyning:

$$\epsilon = \frac{\Delta L}{L}$$

Materialegenskaper

Densitet, ρ

E-modul, E

Temp.utvidelseskoeff., α

Hookes lov:

$$\sigma = E\epsilon$$

Termisk tøyning:

$$\epsilon_T = \alpha \cdot \Delta T$$

Stål

7 850 kg/m³

210 GPa

$11 \cdot 10^{-6}$ m/m°C

Forlengelse av aksialbelastet stav:

$$\Delta L = \frac{FL}{EA}$$

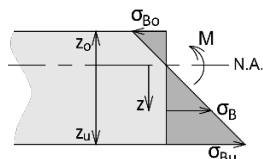
Aluminium

2 700 kg/m³

70 GPa

$23,8 \cdot 10^{-6}$ m/m°C

Bøyespenningsformelen



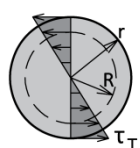
$$\sigma_B = \frac{M_B}{I_y} z$$

$$\sigma_{B,maks} = \frac{M_B}{W_y} \quad \text{hvor} \quad W_y = \frac{I_y}{|z_{maks}|}$$

Torsjonsskjærspenninger

Sirkulært tverrsnitt

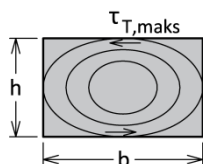
$$\tau_T = \frac{M_T}{I_P} R$$



Rektangulært tverrsnitt

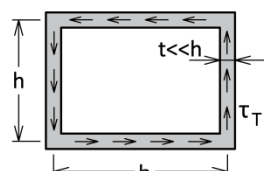
$$b \geq h$$

$$\tau_{T,maks} = \frac{M_T}{bh^2} \left[3 + 1,8 \frac{h}{b} \right]$$



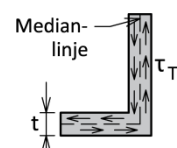
Tynnvegget rektangulær boks

$$\tau_T = \frac{M_T}{2bht}$$



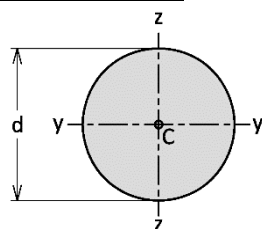
Tynnvegget åpent tverrsnitt

$$\tau_T = \frac{3M_T}{Lt^2}$$

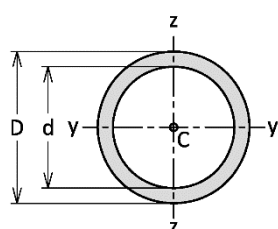


L = medianlinjens lengde

Polar arealmoment



$$I_P = \frac{\pi}{32} d^4 = \frac{\pi}{2} r^4$$



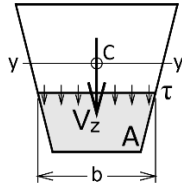
$$I_P = \frac{\pi}{32} (D^4 - d^4)$$

$$I_P \approx 2\pi t R^3$$

Skjærspenninger

Klipping: $\tau = \frac{V}{A_{TS}}$ A_{TS} = Tverrsnittsareal

Bjelketeori



$$\tau = \frac{V}{I_y b} S$$

S = arealmoment av A-flaten om y-aksen

Rektangulært tverrsnitt
 $\tau_{maks} = \frac{3V}{2A}$

Sirkulært tverrsnitt
 $\tau_{maks} = \frac{4V}{3A}$

Tynnvegget rør
 $\tau_{maks} = 2 \frac{V}{A}$

Flytekriterier, σ_F = flytegrense

Mises-kriteriet: $\sigma_M < \sigma_F$

$$\sigma + \tau \quad \sigma_M = \sqrt{\sigma^2 + 3\tau^2}$$

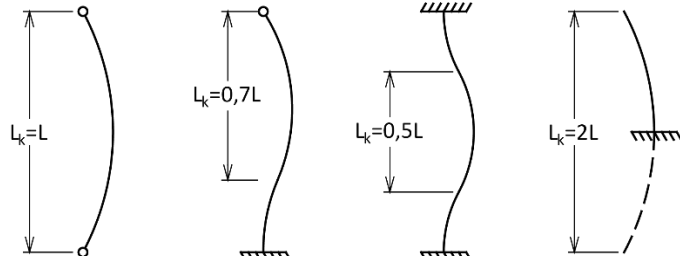
Plan spenning $\sigma_M = \sqrt{\sigma_x^2 + \sigma_y^2 - \sigma_x \sigma_y + 3\tau_{zx}^2}$

Generell spenningstilstand: $\sigma_M = \sqrt{(\sigma_x^2 + \sigma_y^2 + \sigma_z^2) - (\sigma_x \sigma_y + \sigma_y \sigma_z + \sigma_z \sigma_x) + 3(\tau_{xy}^2 + \tau_{yz}^2 + \tau_{zx}^2)}$

Tresca-kriteriet: $\sigma_T = |\sigma_{maks} - \sigma_{min}| < \sigma_F$

Hovedspenninger: $\sigma_1, \sigma_2 \quad \left\{ \begin{array}{l} \sigma_1 = \frac{\sigma_x + \sigma_y}{2} \pm \sqrt{\left(\frac{\sigma_x - \sigma_y}{2}\right)^2 + \tau^2} \end{array} \right.$

Knekking



Elastisk knekking
(Eulerlast):

$$F_E = \frac{\pi^2 EI_o}{L_K^2}$$

Eulerspenning: $\sigma_E = \frac{\pi^2 E}{\lambda^2}$

Plastisk knekking
(Johnsons parabel):

$$\sigma_K = \sigma_F - \frac{1}{E} \left[\frac{\sigma_F \cdot \lambda}{2\pi} \right]^2 \quad \text{for } \epsilon < 20, \lambda_{1/2} >$$

Trehetsradius: $i_y = \sqrt{I_y/A}$

Slankhet: $\lambda = \frac{L_K}{i}$

Relativ slankhet: $\bar{\lambda} = \frac{\lambda}{\lambda_1}$

Slankhet hvor $\sigma_E = \sigma_F$: $\lambda_1 = \pi \sqrt{\frac{E}{\sigma_F}}$

Slankhet hvor $\sigma_E = \sigma_F/2$: $\lambda_{1/2} = \pi \sqrt{\frac{2E}{\sigma_F}}$

Fluidstatikk

Tilstandslikning for ideell gass:

$$p = \rho RT \quad T = \text{Temperatur angitt i Kelvin } (\text{°C} + 273)$$
$$R = \frac{R_u}{M} = \text{Gasskonstant for aktuell gass}$$
$$R_u = 8314 \frac{\text{J}}{\text{kmol} \cdot \text{K}} = \text{universell gasskonstant}$$
$$M = \text{Gassens molmasse (hentes fra materialtabeller)}$$

Hydrostatisk trykk: $p = p_o + \rho gh$ $p_o = \text{omgivelsestrykk}$

Resultantkraft på plan flate: $F = (p_o + \rho gh_c)A$ $A = \text{Flatens areal}$

Trykksenter, plan flate: $h_p = h_c + \frac{I_c \sin^2 \varphi}{\left(h_c + \frac{p_o}{g\rho}\right)A}$ $h_c = \text{Dybde til flatens arealsenter}$
 $\varphi = \text{flatens vinkel ift. horisontalplan}$

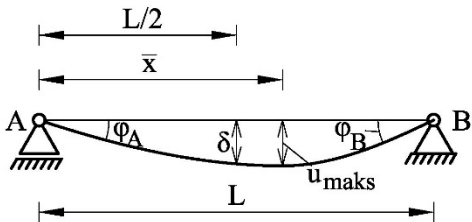
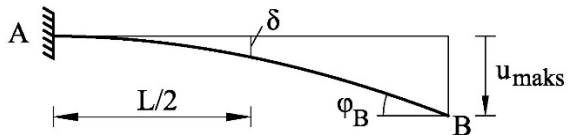
Trykksenter, vertikal plan flate uten p_o : $h_p = h_c + \frac{I_c}{h_c A}$

Trykktank med indre overtrykk

Tangentielle normalspenninger: $\sigma_\varphi = \frac{r}{t} p$ Langsgående normalspenninger: $\sigma_L = \frac{r}{2t}$

Deformasjon av enkle bjelker

Største mulige utbøyning: $u_{maks} = \frac{L^2}{8EI} M_{maks}$



EI_y = bøyestivhet, konstant

δ = utbøyning på midten

u_{maks} = største utbøyning

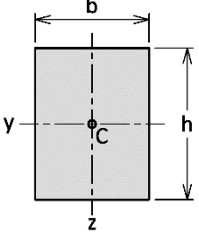
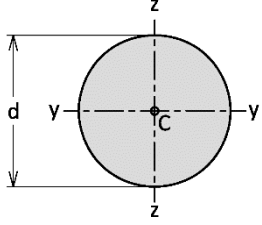
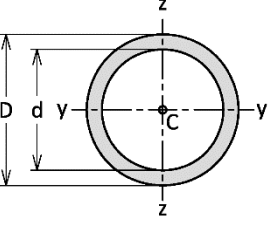
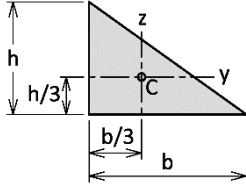
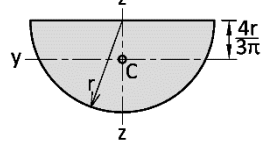
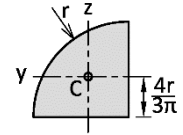
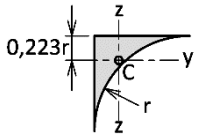
u_{last} = utbøyning under punktlast

\bar{x} = avstand fra A til punkt med maks. utbøyning

φ_A og φ_B = tangenthelning ved hhv. A og B [rad.]

1		$u_{maks} = \frac{qL^4}{8EI} \quad \varphi_B = \frac{qL^3}{6EI} \quad \delta = \frac{17}{384} \frac{qL^4}{EI}$
2		$u_{maks} = \frac{FL^3}{3EI} \quad \varphi_B = \frac{FL^2}{2EI} \quad \delta = \frac{5}{48} \frac{FL^3}{EI}$ $u(x) = \frac{F}{EI} \left(\frac{1}{6} x^3 - \frac{L}{2} x^2 \right)$
3		$u_{maks} = \frac{ML^2}{2EI} \quad \varphi_B = \frac{ML}{EI}$
4		$u_{maks} = \frac{ML^2}{9\sqrt{3}EI} \quad \bar{x} = \left(1 - \frac{\sqrt{3}}{3} \right) L$ $\varphi_A = \frac{ML}{3EI} \quad \varphi_B = \frac{ML}{6EI} \quad \delta = \frac{ML^2}{16EI}$
5		$u_{maks} = \frac{Fb(L^2 - b^2)^{1.5}}{9\sqrt{3}EI} \quad \bar{x} = \sqrt{\frac{L^2 - b^2}{3}}$ $u_{last} = \frac{Fa^2 b^2}{3LEI} \quad \delta = \frac{F \cdot b(3L^2 - 4b^2)}{48EI}$ $\varphi_A = \frac{F \cdot ab(L + b)}{6L \cdot EI} \quad \varphi_B = \frac{F \cdot ab(L + a)}{6L \cdot EI}$ $u(x) = \frac{Fbx}{6L \cdot EI} (L^2 - b^2 - x^2), \quad x \leq a$
6		$\delta = u_{maks} = \frac{FL^3}{48EI} \quad \varphi_A = \varphi_B = \frac{FL^2}{16EI}$
7		$\delta = u_{maks} = \frac{5}{384} \frac{qL^4}{EI} \quad \varphi_A = \varphi_B = \frac{qL^3}{24EI}$

Flategeometri

Snittflate m/arealsenter	Areal	Annet arealmoment
	$A = bh$	$I_y = \frac{bh^3}{12}$ $I_z = \frac{hb^3}{12}$
	$A = \frac{\pi}{4}d^2 = \pi r^2$	$I_y = I_z =$ $\frac{\pi}{64}d^4 = \frac{\pi}{4}r^4$
	$A = \frac{\pi}{4}(D^2 - d^2)$	$I_y = I_z =$ $\frac{\pi}{64}(D^4 - d^4)$ $I \approx \pi t R^3$
	$A = \frac{bh}{2}$	$I_y = \frac{bh^3}{36}$ $I_z = \frac{hb^3}{36}$
	$A = \frac{\pi}{2}r^2$	$I_y = 0,11r^4$ $I_z = \frac{\pi}{8}r^4$
	$A = \frac{\pi}{4}r^2$	$I_y = I_z =$ $\left(\frac{\pi}{16} - \frac{4}{9\pi}\right)r^4 \approx$ $0,0549r^4$
 $y_c = \frac{5 - 1,5\pi}{6 - 1,5\pi}r \approx 0,223r$	$A = \left(1 - \frac{\pi}{4}\right)r^2$	$I_y = I_z = 0,0075r^4$